



**Národní informační středisko
pro podporu kvality**

Využití metody bootstrapping při analýze dat

Eva Jarošová

18. listopadu 2010

Použití

- Určení přesnosti odhadu neznámých charakteristik
- Výpočet konfidenčních mezí pro neznámou charakteristiku
- Testování hypotéz

Využití naměřených dat a počítače k simulaci neznámého výběrového rozdělení

- Nesplňují-li data předpoklad normálního rozdělení
- Neznáme-li výběrové rozdělení odhadu
- Nemůžeme-li využít centrální limitní věty

Příklad simulace

Schéma výběru s opakováním	1	1	1	4
	2	2	5	3
	3	4	3	2
	4	4	5	1
	5	2	1	1

Naměřené hodnoty	Simulované výběry			
	1	2	3	...
6,1	6,1	6,1	6,6	
6,2	6,2	6,9	6,5	
6,5	6,6	6,5	6,2	
6,6	6,6	6,9	6,1	
6,9	6,2	6,1	6,1	
6,46	6,34	6,50	6,30	...
				simulované rozdělení průměrů

Konfidenční intervaly

Metody

- Podle výpočtu konfidenčních mezí
 - percentilový, s korekcí na zkreslení a s akcelerací,
studentizovaný, základní; standardní (normální)
- Podle způsobu simulace neznámého rozdělení
 - neparametrický či parametrický bootstrap
- Podle výběru vzorků
 - obyčejný, vyvážený, s klouzavými bloky

Značení

θ odhadovaná charakteristika

$\hat{\theta}$ odhad charakteristiky na základě n
naměřených hodnot

$\hat{\theta}_i^*$ odhad charakteristiky na základě n
hodnot v i-tém simulovaném výběru

$\hat{\theta}_{(1)}^*, \hat{\theta}_{(2)}^*, \dots, \hat{\theta}_{(B)}^*$ simulované rozdělení
(hodnoty seřazeny vzestupně)

$(\hat{\theta}_{(k_L)}^*; \hat{\theta}_{(k_U)}^*)$ konfidenční interval pro θ

Příklad – odhad střední hodnoty

μ odhadovaná charakteristika

$\hat{\mu} = \bar{x}$ odhad střední hodnoty, výběrový průměr
(z n naměřených hodnot)

Rozdělení hodnot X není normální, malý rozsah výběru,
nemůžeme uplatnit centrální limitní větu

$\hat{\mu}_i^* = \bar{x}_i^*$ průměr v i-tém simulovaném výběru

$\bar{x}_{(1)}^*, \bar{x}_{(2)}^*, \dots, \bar{x}_{(B)}^*$ simulované rozdělení

$(\bar{x}_{(k_L)}^*; \bar{x}_{(k_U)}^*)$ konfidenční interval pro μ

Vlastnosti odhadu

- Zkreslení odhadu $E(\hat{\theta}) - \theta$
odhad $\frac{1}{B} \sum_{i=1}^B (\hat{\theta}_i^* - \hat{\theta})$
- Směrodatná chyba odhadu $\sqrt{E[\hat{\theta} - E(\hat{\theta})]^2}$
odhad $s(\hat{\theta}^*) = \sqrt{\frac{\sum_{i=1}^B (\hat{\theta}_i^* - \bar{\theta}^*)^2}{B-1}}$ $\bar{\theta}^* = \frac{1}{B} \sum_{i=1}^B \hat{\theta}_i^*$

Percentilový interval

$$\hat{\theta}_{(1)}^*, \hat{\theta}_{(2)}^*, \dots, \hat{\theta}_{(B)}^*$$

Zvolená konfidence $1 - \alpha$

$$k_L = \left\lfloor \frac{\alpha}{2} (B+1) \right\rfloor \quad k_U = (B+1) - k_L$$

$\lfloor x \rfloor$ Největší celé číslo menší nebo rovné x

Např. pro konfidenci $1 - \alpha = 0,95$ a $B = 999$ $(\hat{\theta}_{(25)}^*; \hat{\theta}_{(975)}^*)$

Jednoduchý, dobře funguje u symetrických rozdělení
U nesymetrických rozdělení pokrytí neodpovídá deklarované konfidenci

Základní interval

$$\hat{\theta}_{(1)}^*, \hat{\theta}_{(2)}^*, \dots, \hat{\theta}_{(B)}^*$$

$$\hat{\theta}_{(k_L)}^*; \hat{\theta}_{(k_U)}^*$$

$$\hat{\theta}_{(k_L)}^* - \hat{\theta} < \hat{\theta} - \theta < \hat{\theta}_{(k_U)}^* - \hat{\theta}$$

$$2\hat{\theta} - \hat{\theta}_{(k_U)}^* < \theta < 2\hat{\theta} - \hat{\theta}_{(k_L)}^*$$

$$(2\hat{\theta} - \hat{\theta}_{(k_U)}^*; \quad 2\hat{\theta} - \hat{\theta}_{(k_L)}^*)$$

BCa interval

$$\hat{\theta}_{(1)}^*, \hat{\theta}_{(2)}^*, \dots, \hat{\theta}_{(B)}^*$$

p_0 empirická distribuční funkce v bodě $\hat{\theta}$
podíl hodnot $\hat{\theta}_i^*$ menších než $\hat{\theta}$

$\hat{z}_0 = \Phi^{-1}(p_0)$ korekce zkreslení

\hat{a} akcelerace, korekce nekonstantní směrodatné chyby,
odhad viz Efron, Tibshirani (1993)

$$p_L = \Phi\left(\hat{z}_0 + \frac{\hat{z}_0 + z_{\alpha/2}}{1 - \hat{a}(\hat{z}_0 + z_{\alpha/2})}\right)$$

$$k_L = \lfloor p_L(B+1) \rfloor$$

$$p_U = \Phi\left(\hat{z}_0 + \frac{\hat{z}_0 + z_{1-\alpha/2}}{1 - \hat{a}(\hat{z}_0 + z_{1-\alpha/2})}\right)$$

$$k_U = (B+1) - k_L$$

$$\left(\hat{\theta}_{(k_L)}^*; \hat{\theta}_{(k_U)}^*\right)$$

$z_{\alpha/2}$ kvantil normovaného normálního rozdělení

- Odhad koeficientu zkreslení z_0 a koeficientu akcelerace a neparametricky či parametricky (za předpokladu určitého rozdělení)
- Úprava znamená změnu pořadí k_L a k_U pro určení percentilů
- Zachovává obor hodnot parametrů
- S rostoucím n se pokrytí blíží stanovené konfidenci rychleji než u předešlých (je však třeba minimálně $B = 1000$)

Studentizovaný (t)

Založen na jiném simulovaném rozdělení

$$\hat{\theta}_i^* = \frac{\hat{\theta}_i^* - \hat{\theta}}{s(\hat{\theta}_i^*)}$$

simulované rozdělení $t_{(1)}^*, t_{(2)}^*, \dots, t_{(B)}^*$ \longrightarrow $t_{(k_L)}^* \quad t_{(k_U)}^*$

$$(\hat{\theta} - t_{(k_L)}^* s(\hat{\theta}^*); \hat{\theta} + t_{(k_U)}^* s(\hat{\theta}^*))$$

$$s(\hat{\theta}^*) = \sqrt{\frac{1}{B-1} \sum_{i=1}^B (\hat{\theta}_i^* - \bar{\theta}^*)^2}$$

Nevýhody

- Problém při odhadu směrodatné chyby v každém simulovaném vzorku

Není-li k dispozici vzorec pro odhad směrodatné chyby, použije se znovu bootstrap na každý ze simulovaných vzorků

Např. pro každý z 1000 vzorků 25 vzorků pro odhad směrodatné chyby – celkem 25000

$$s(\hat{\theta}_i^*) = \sqrt{\frac{\sum_{k=1}^b (\hat{\theta}_{ik}^* - \bar{\theta}_i^*)^2}{b-1}}$$

- Může být příliš široký a obsahovat i nepřípustné hodnoty charakteristiky
- Nerespektuje transformaci (záleží na stupnici měření)

Standardní (normální) interval

$$\hat{\theta}_{(1)}^*, \hat{\theta}_{(2)}^*, \dots, \hat{\theta}_{(B)}^*$$

$$\bar{\theta}^* = \frac{1}{B} \sum_{i=1}^B \hat{\theta}_i^*$$

$$s(\hat{\theta}^*) = \sqrt{\frac{1}{B-1} \sum_{i=1}^B (\hat{\theta}_i^* - \bar{\theta}^*)^2}$$

$$\left(\bar{\theta}^* - z_{1-\alpha/2} s(\hat{\theta}^*); \bar{\theta}^* + z_{1-\alpha/2} s(\hat{\theta}^*) \right)$$

Nezaručuje dodržení oboru hodnot

Příklady

Interval pro střední hodnotu

Pro velký výběr

$$\left(\bar{x} - z_{1-\alpha/2} \frac{s}{\sqrt{n}}; \bar{x} + z_{1-\alpha/2} \frac{s}{\sqrt{n}} \right)$$

$$P\left(\bar{x} - z_{1-\alpha/2} \frac{s}{\sqrt{n}} < \mu < \bar{x} + z_{1-\alpha/2} \frac{s}{\sqrt{n}} \right) = 1 - \alpha$$

Platí přibližně, nemají-li průměry normální rozdělení.

Percentilový interval

$$\bar{x}_{(1)}^*, \bar{x}_{(2)}^*, \dots, \bar{x}_{(B)}^*$$

$$k_L = \left\lfloor \frac{\alpha}{2}(B+1) \right\rfloor \quad k_U = (B+1)-k_L$$

$\lfloor x \rfloor$ Největší celé číslo menší nebo rovné x

$$(\bar{x}_{(k_L)}^*; \bar{x}_{(k_U)}^*)$$

Studentizovaný interval

Založen na jiném bootstrapovém rozdělení než předcházející

$$t^* = \frac{\bar{x}_i^* - \bar{x}}{s(\bar{x}_i^*)}$$

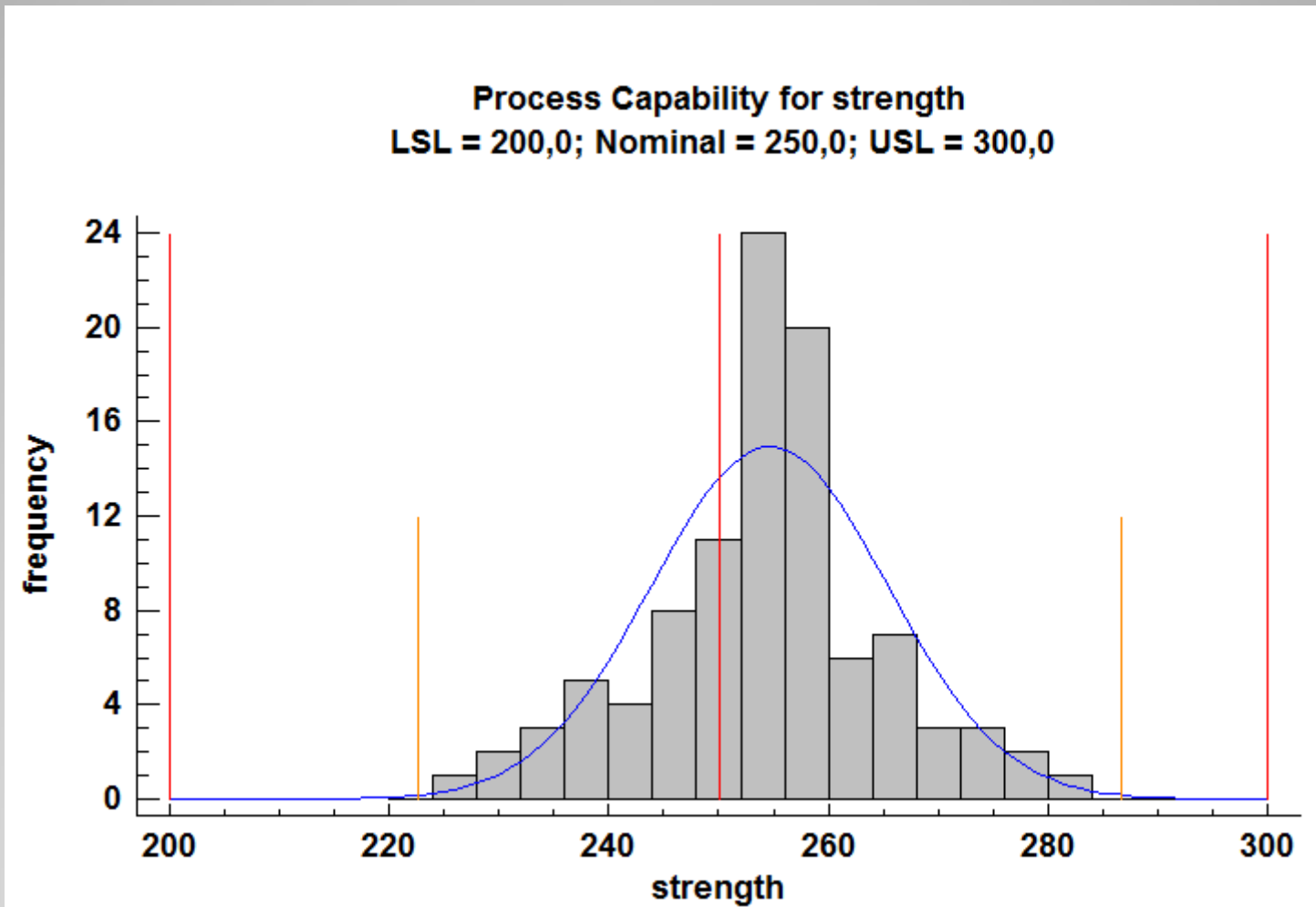
$$s(\bar{x}_i^*) = \sqrt{\frac{\sum_{j=1}^n (x_{ij}^* - \bar{x}_i^*)^2}{n^2}}$$

$$t_{(1)}^*, t_{(2)}^*, \dots, t_{(B)}^*$$

$$\left(\bar{x} - t_{(k_L)}^* s(\bar{x}); \bar{x} + t_{(k_U)}^* s(\bar{x}) \right)$$

$$s(\bar{x}) = \sqrt{\frac{\sum_{j=1}^n (x_j - \bar{x})^2}{n^2}}$$

Interval pro index výkonnosti



Odhad indexů za předpokladu normality

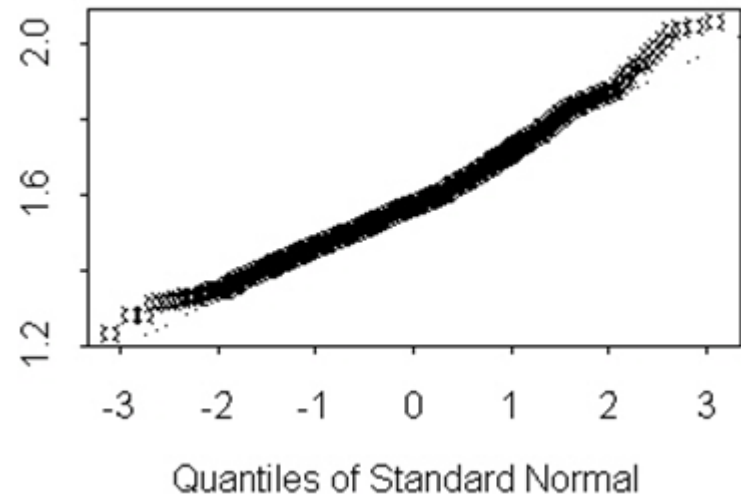
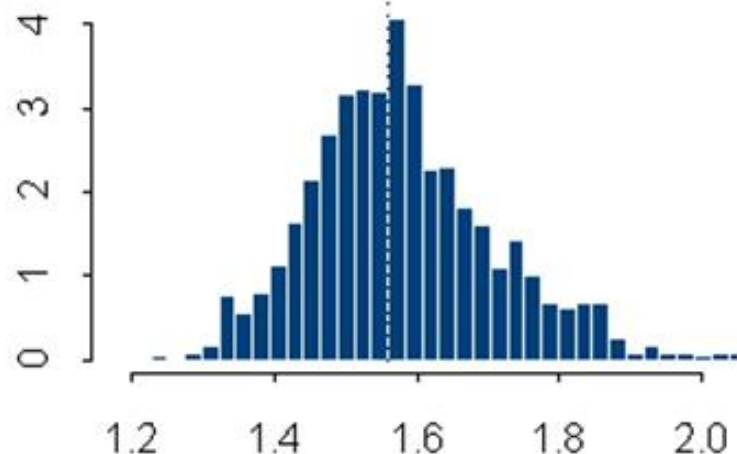
$$P_p = \frac{USL - LSL}{6\sigma}$$

$$\hat{P}_p \sqrt{\frac{\chi^2_{1-\alpha/2}(n-1)}{n-1}} < P_p < \hat{P}_p \sqrt{\frac{\chi^2_{\alpha/2}(n-1)}{n-1}}$$

$$P_{pk} = \min \left\{ \frac{USL - \mu}{3\sigma}; \frac{\mu - LSL}{3\sigma} \right\}$$

$$\hat{P}_{pk} \left[1 - z_{\alpha/2} \sqrt{\frac{1}{9n\hat{P}_{pk}^2} + \frac{1}{2(n-1)}} \right] < P_{pk} < \hat{P}_{pk} \left[1 + z_{\alpha/2} \sqrt{\frac{1}{9n\hat{P}_{pk}^2} + \frac{1}{2(n-1)}} \right]$$

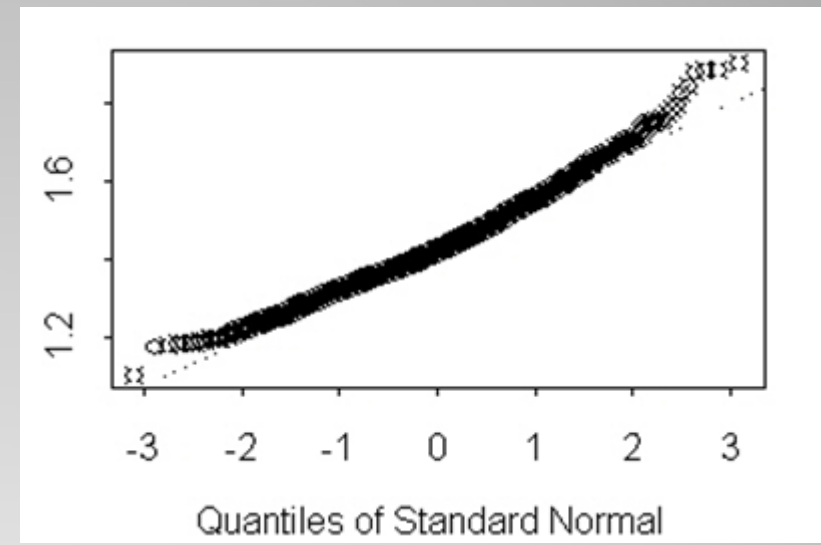
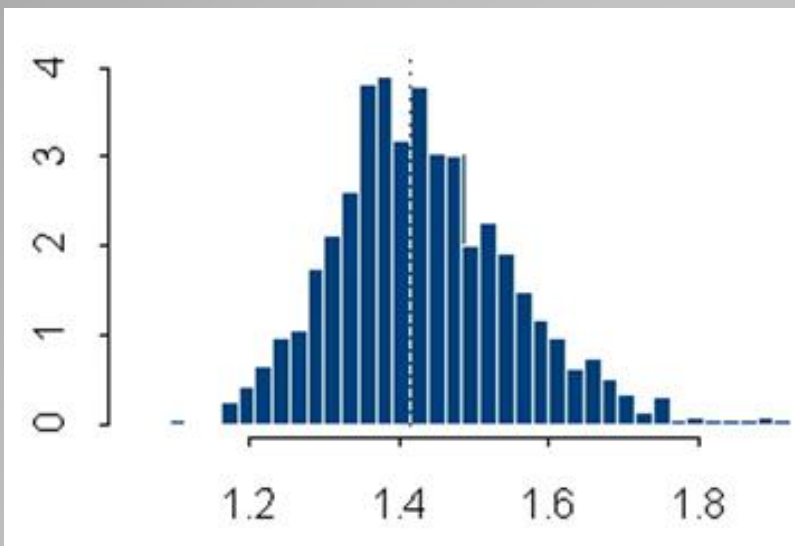
Index výkonnosti P_p



odhad	1.560213	
Normal	(1.284, 1.795)	Basic
Percentile	(1.346, 1.863)	BCa
	(1.324, 1.829)	

Normalita 1,56021 (1,34307, 1,77699)
Clements 1,41825

Index výkonnosti P_{pk}



	odhad	1.415426
Normal		Basic
(1.161, 1.633)		(1.131, 1.608)
Percentile		BCa
(1.223, 1.699)		(1.197, 1.666)

Normalita 1,41543 (1,20773 1,62312)
Clements 1,36902

Metoda vzorkování

- Výkonnost (dlouhodobá způsobilost)

Pp, Ppk

odhad na základě variability všech hodnot ve výběru
vzorkování z celého výběru

- Způsobilost (krátkodobá)

Cp, Cpk

odhad na základě variability v podskupinách (případně
 pomocí klouzavých rozpětí)

vzorkování z jednotlivých podskupin

Literatura

- Choi, K.C., Nam, K.H., Park, D.H.: Estimation of capability index based on bootstrap method. *Microelectronics and Reliability*, vol.36, no.9, pp. 1141-1153, 1996
- Collins, A.J.: Bootstrap konfidence limits on process capability indices. *The Statistician*, vol.44, no.3, pp. 373-378, 1995
- Dixon, P.M.: The bootstrap and the jackknife: describing the precision of ecological studies, in Design and Analysis of Ecological Experiments, ... 2001
www.wiley.com/legacy/wileychi/eoenv/pdf/Vab028-.pdf
- Efron, B., Tibshirani, R.J.: Bootstrap Methods for Standard Errors, Confidence Intervals, and Other measures of Statistical Accuracy. *Statistical Science*, vol.1, no.1, pp. 54-77, 1986

- Efron, B., Tibshirani, R.J.: *An Introduction to the Bootstrap*. Chapman&Hall/CRC 1993
- Franklin, L.A., Wasserman, G.: Standard bootstrap confidence interval estimates of C_{PK} *Computers & Industrial Engineering*, vol.21, no.1-4, pp. 129-133, 1991
- Franklin, L.A., Wasserman, G.S.: Bootstrap Lower Confidence Limits for Capability Indices. *JQT*, vol.24, no.4, 1992
- Yang J.: A Bootstrap Confidence Limit for Process Capability Indices
<http://www.bmtfi.net/upload/product/200910/2007glhy14a3.pdf>